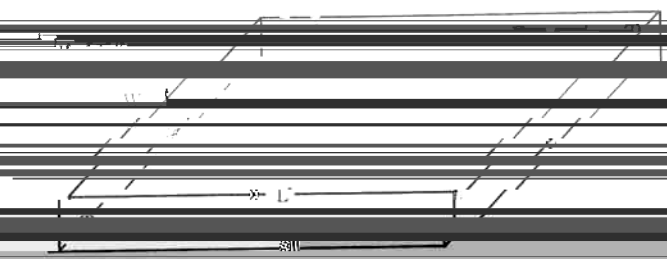
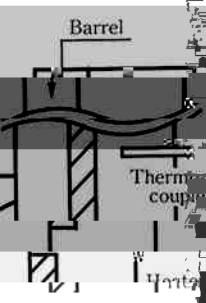


Driver

ell



L/D

10

Ball

Load



(a) 電圧出力の測定

磁石計1で測定した出力の電圧を、その出力を測定

(1)

.....(2)

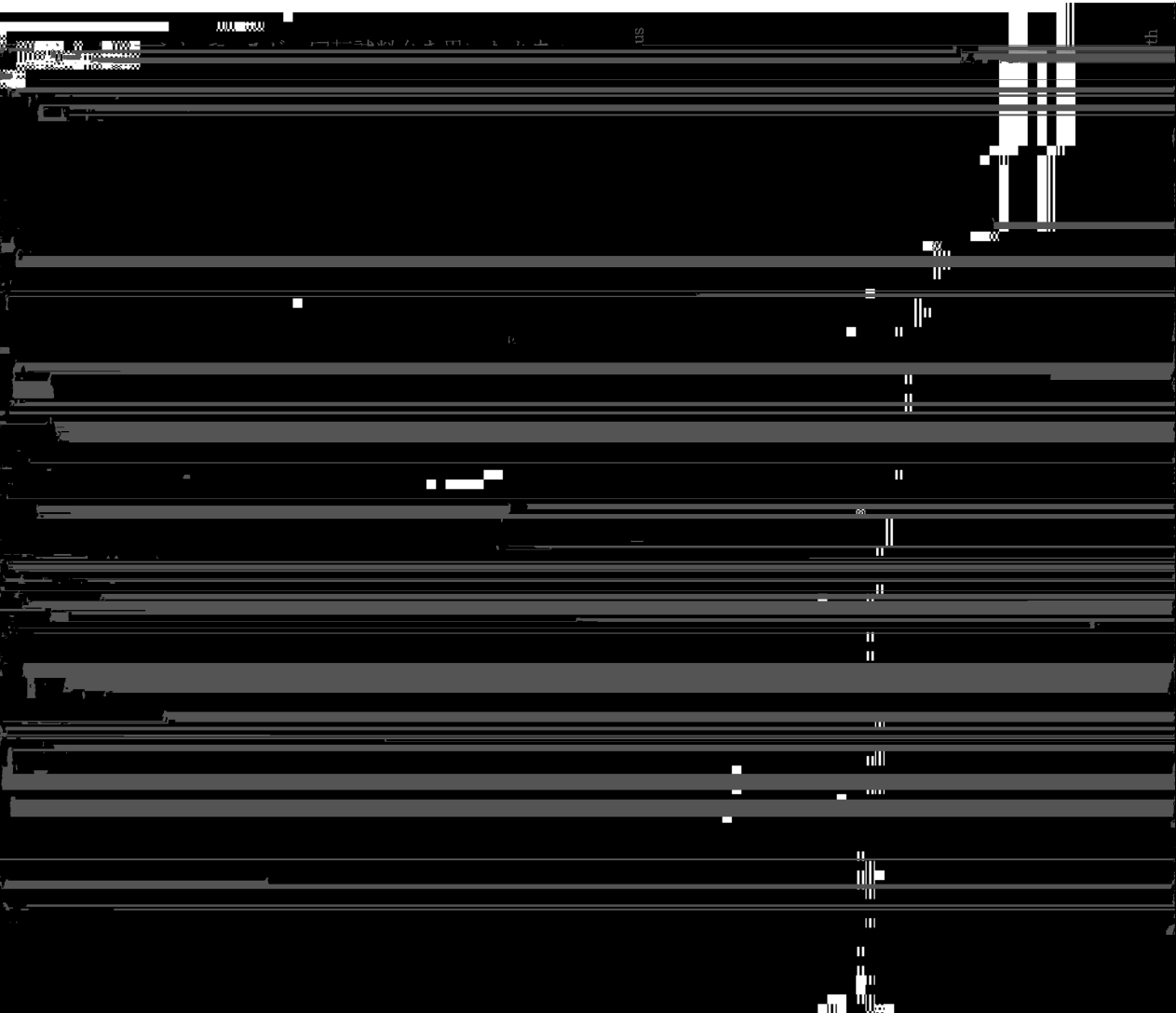
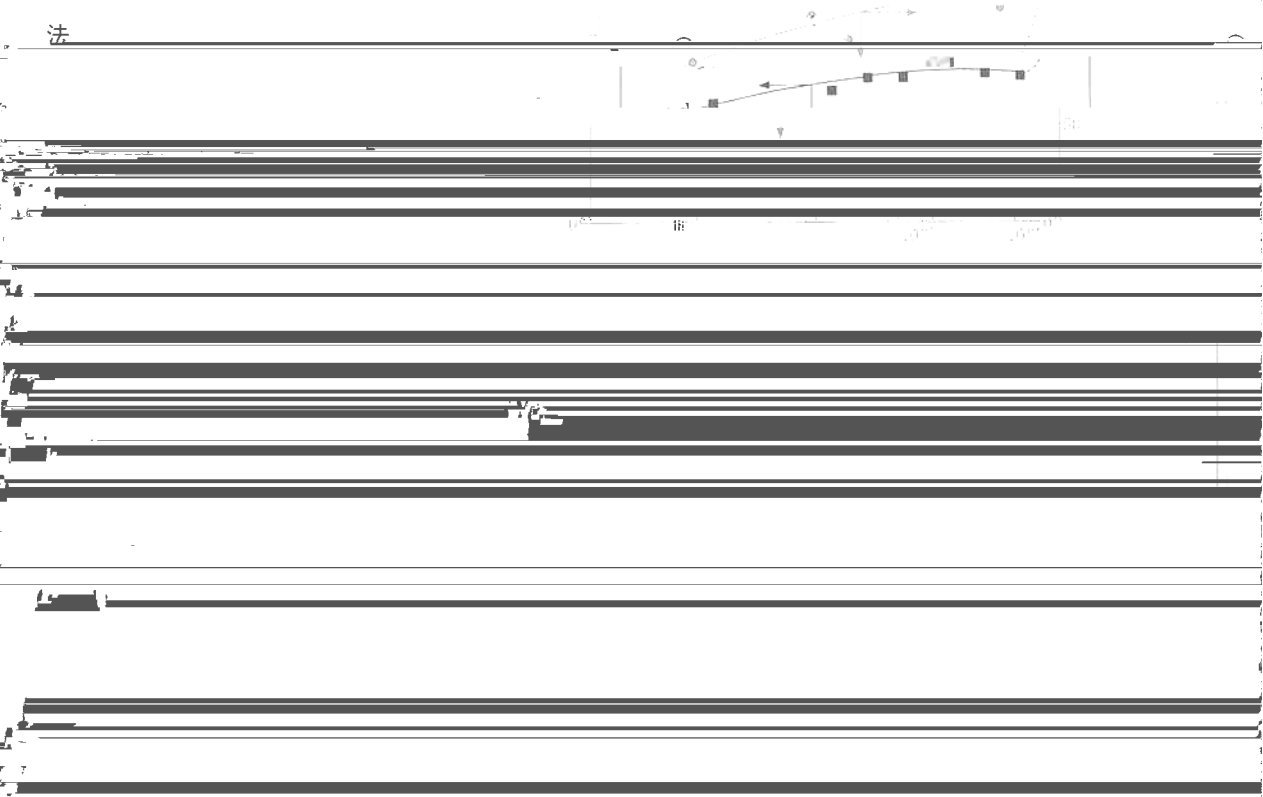
.....(2)

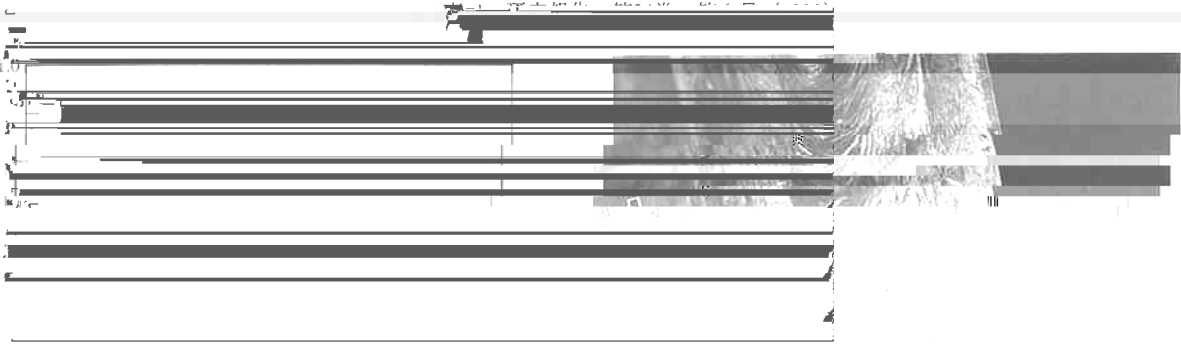
↑
Flow
Direction

(a)

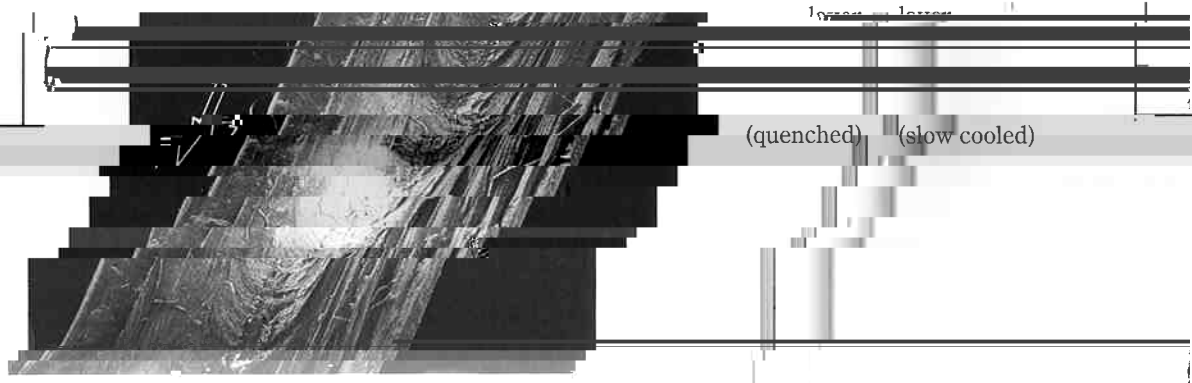
(b)

【1】 声光線回折写真の画像処理による分子配向評価法





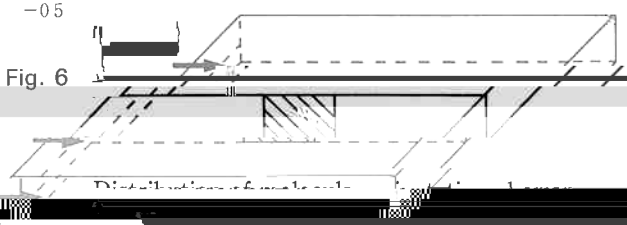
Orientation Function



(b) (表56)

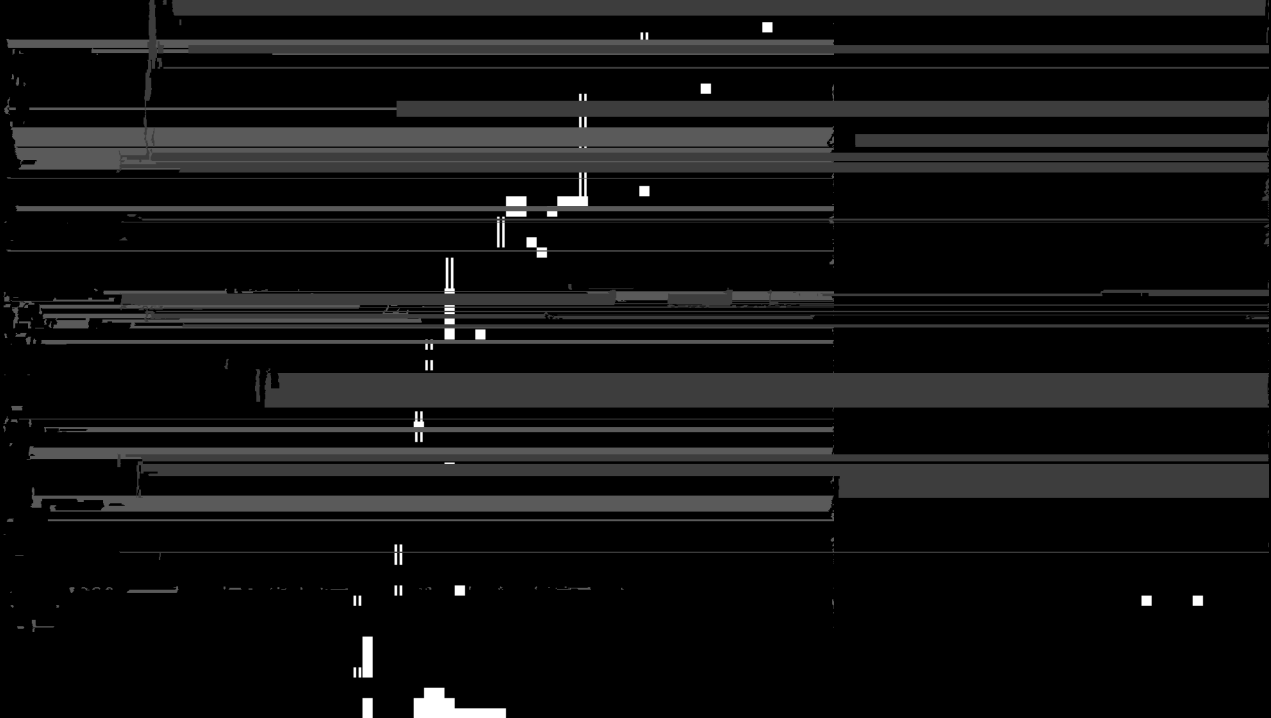
-05

Fig. 6



Distribution of force loads

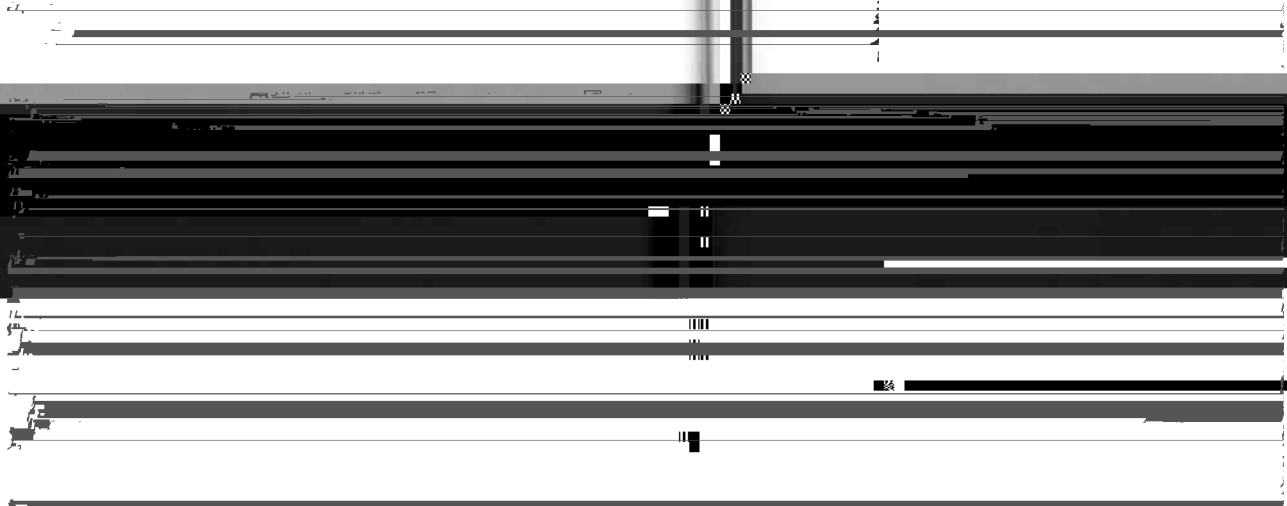
$\dot{\mu}_{min} = 6.1 \text{ sec}^{-1}$ および $\dot{\mu}_{max} = 6080 \text{ sec}^{-1}$ で作製された







(* estimated by dichroic ratio)

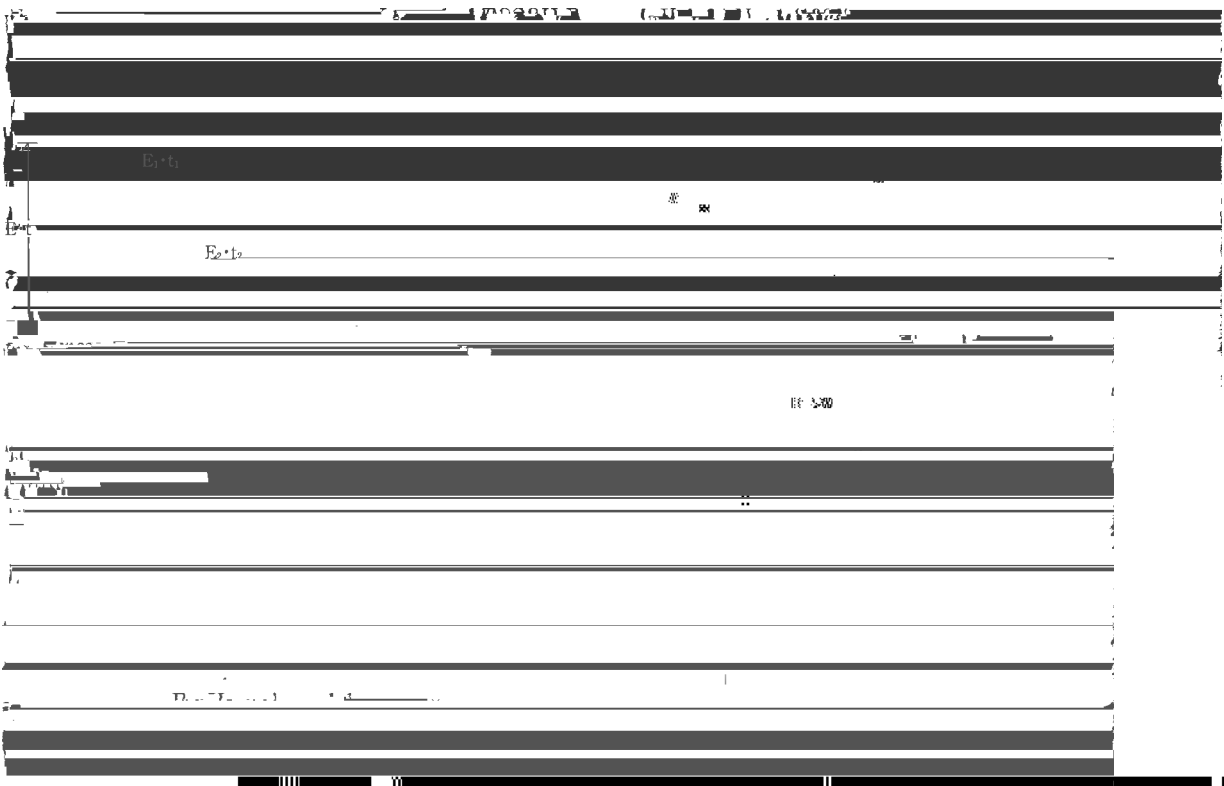


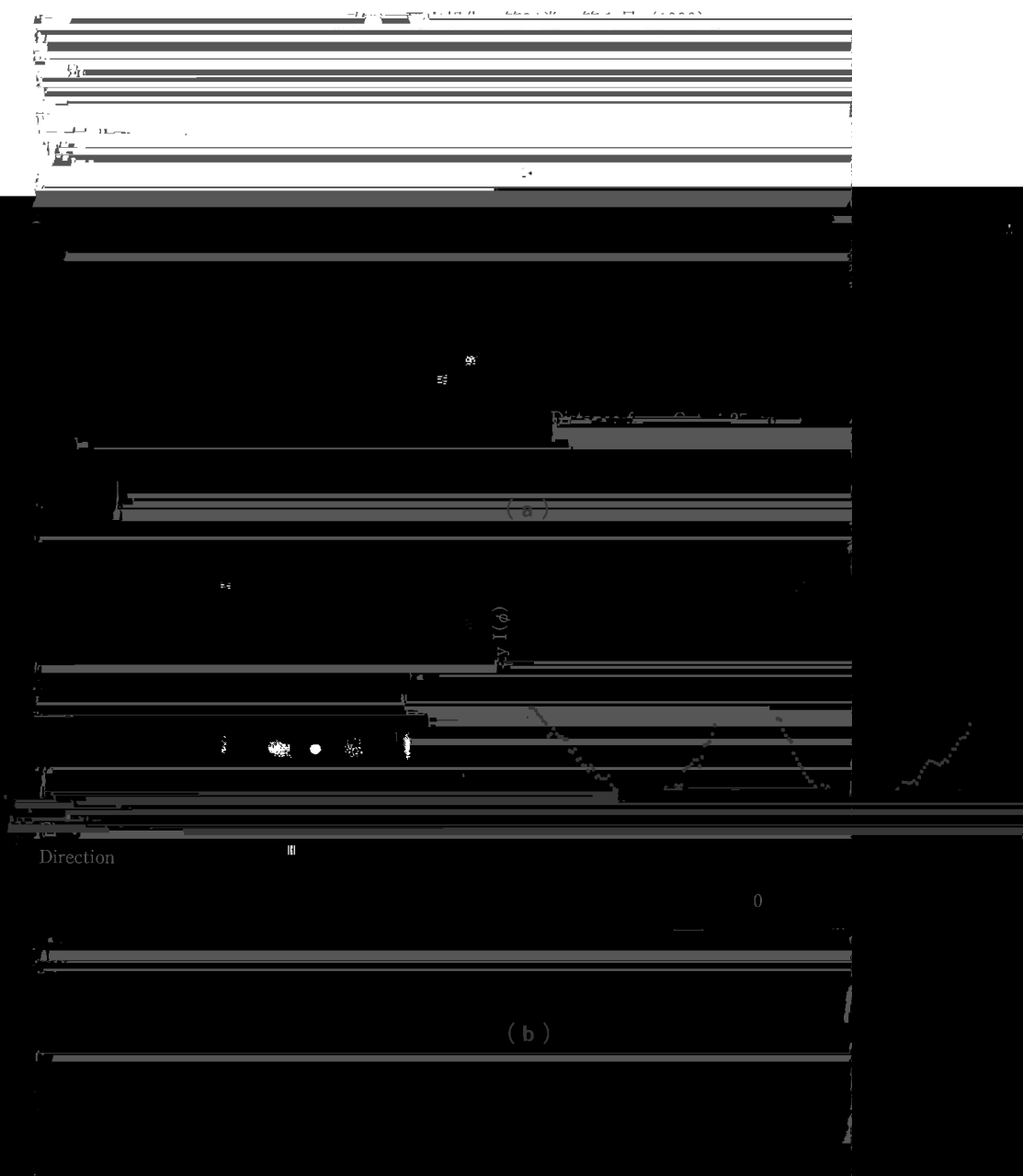


(a)

(b)

Fig. 10. (a) Schematic diagram of a layered structure.





Distance from Gate : 35mm

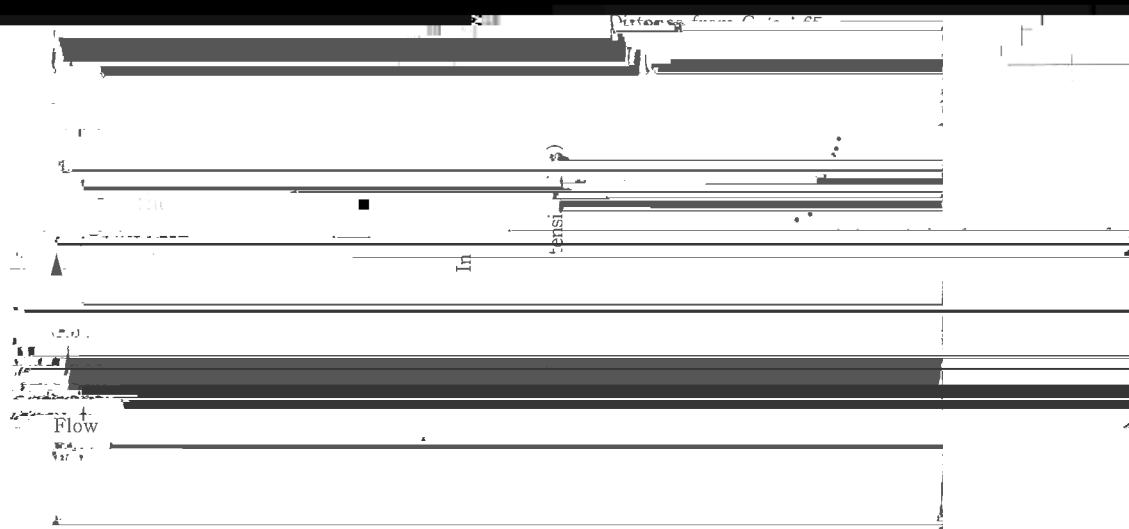




Figure 1. (a) ^{13}C -NMR spectrum of poly(2-vinylpyridine) in CDCl_3 at 125 MHz. The spectrum shows several peaks in the aromatic region between 110 and 160 ppm.

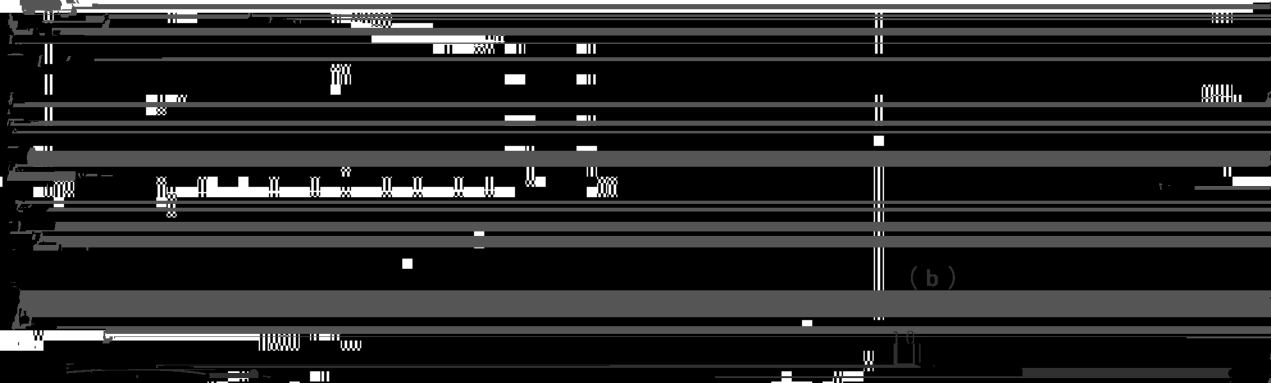


Figure 1. (b) ^{13}C -NMR spectrum of poly(2-vinylpyridine) in CDCl_3 at 125 MHz. The spectrum shows a more complex pattern of peaks compared to (a).

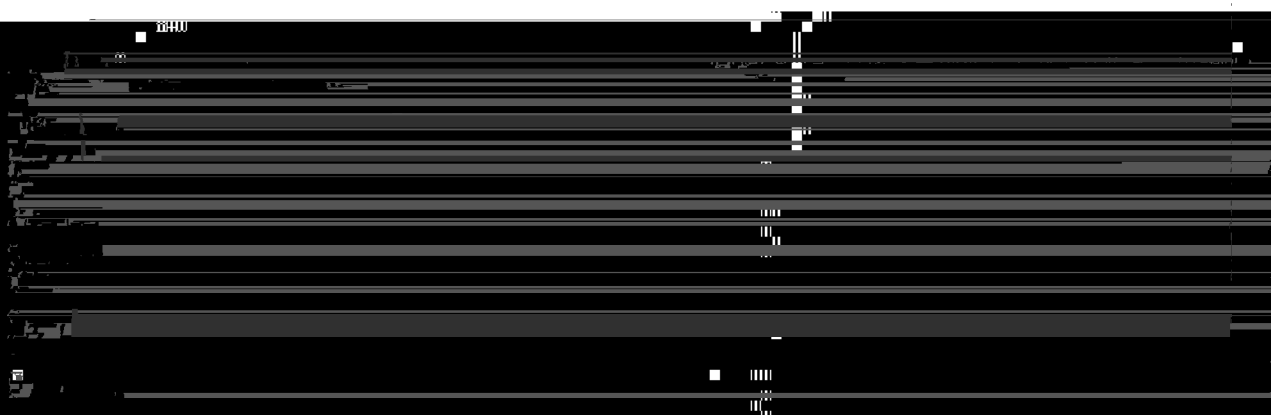
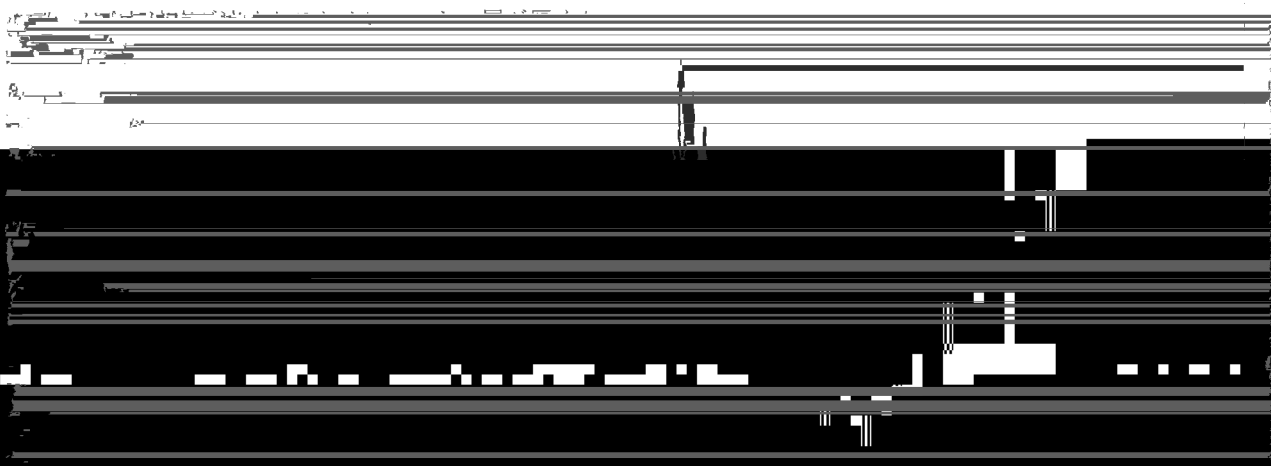
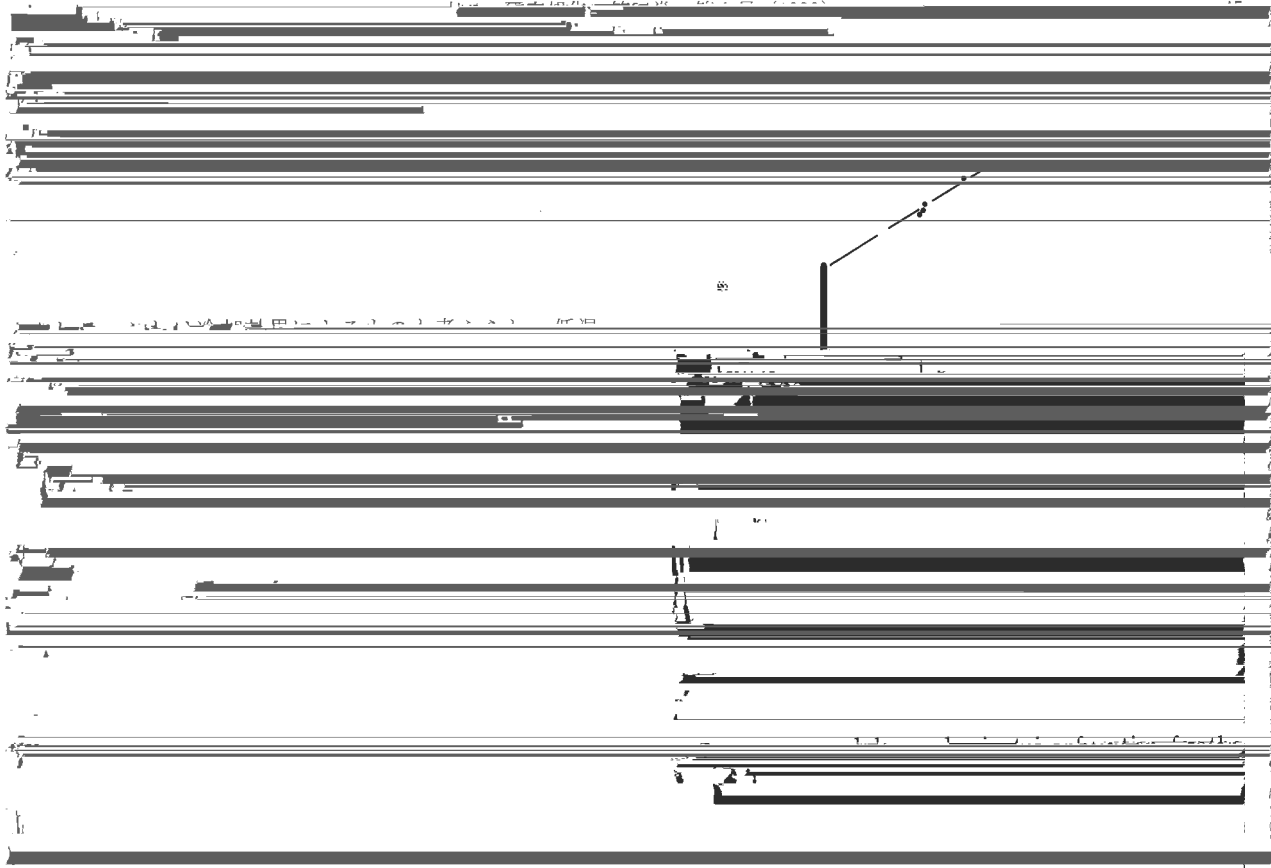
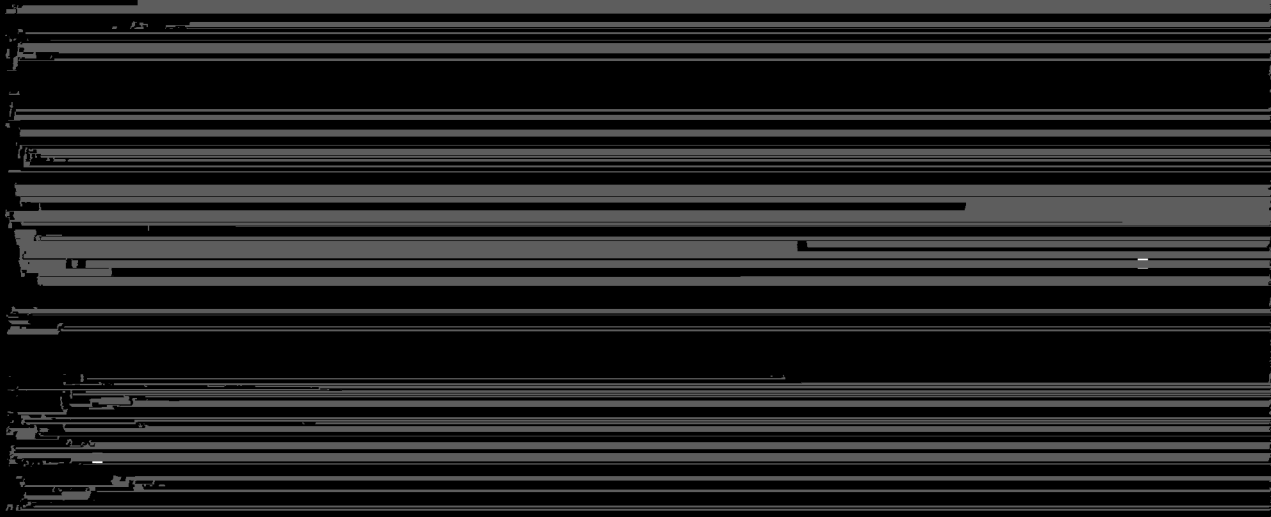


Figure 2. (a) ^{13}C -NMR spectrum of poly(2-vinylpyridine) in CDCl_3 at 125 MHz. The spectrum shows several peaks in the aromatic region between 110 and 160 ppm.



っていると思われる。

→ 4) 低圧域での弾性率はほぼ一定である。



U.S. DEPARTMENT OF JUSTICE

Sm: g

